

تشخیص و پنهانه‌بندی مکانی شاخص کیفی چند متغیره آب زیرزمینی با استفاده از ترکیب روش فازی

جمال ظاهرپور^۱

محمد رضا نیکو^۲

مسعود تجربیشی^۳

محسن ناصری^۴

(دریافت ۱۱/۰۹/۰۴) (پذیرش ۰۴/۰۸/۰۹)

چکیده

روشهای ارزیابی کیفیت منابع آب زیرزمینی و تشخیص موقعیتهای مناسب برداشت برای شرب و استفاده کشاورزی، از مسائلی است که به لحاظ کاربردی بودن، استفاده فراوانی دارد. ارائه یک روش پنهانه‌بندی کیفی جدید با تعیین حدود و شاخص کیفی مناسب از اهم اهداف تحقیق حاضر بود. در این مطالعه پس از ارزیابی متغیرهای کیفی آب در هر چاه پاییش، روشی کارا به منظور استنتاج شاخص کلی کیفیت آب با به کارگیری ساختار تشخیص و ارزیابی فازی به کار بوده شد. در ادامه، اطلاعات ۲۱۷ چاه برداشت آب در دشت قزوین که شامل ۱۲ پارامتر شیمیایی کیفیت آب بود، به منظور ارزیابی شاخص کیفی پیشنهادی مورد استفاده قرار گرفت. در نهایت، شاخص کیفی فازی جدید با استفاده از یکی از جدیدترین رویکردهای تخمین مکانی بهینه شده توسط الگوریتم ژنتیک به کل منطقه دشت قزوین تعیین یافت. نتایج نشان‌دهنده کارایی روش پیشنهادی در پنهانه‌بندی کیفی آب زیرزمینی بود. یکی از نقاط قوت روش پیشنهادی، پرهیز از تجمعیع قطعیت‌گرایانه کیفیت و ارائه شاخصی پیوسته به منظور ارزیابی کیفی آب زیرزمینی بود.

واژه‌های کلیدی: آب زیرزمینی، شاخص کیفی آب، پنهانه‌بندی، رویکرد ارزیابی فازی

Recognition and Spatial Mapping of Multivariate Groundwater Quality Index using Combined Fuzzy Method

Mohsen Nasseri¹

Masoud Tahirshy²

Mohammad reza Nikoo³

Jamal Zaherpour⁴

(Received Jan. 1, 2011) Accepted Oct. 26, 2011)

Abstract

Methods for evaluating the quality of groundwater resources and recognition of appropriate locations for urban and agricultural water demand has been known as an important item in water resources planning. The main focus of this paper has been addressed a new water quality mapping based on coupling of fuzzy approximation and water quality indexing. In this paper, after indexing water quality in each monitoring well, based on fuzzy reasoning a new global fuzzy indexing has been presented. In this regard, 12 water quality parameters for 217 monitoring wells in the province of Ghazvin in the north have been used. In the final step, map of fuzzy evaluation over the area of interest has been provided based on an optimized new spatial approximation via Genetic Algorithm (GA). The results showed the capability of the proposed methodology for groundwater quality mapping. The most important contribution of this paper is successful combination of fuzzy reasoning and water quality indexing as a continuous function for evaluating groundwater quality mapping.

Keywords: Groundwater, Water Quality Index, Water Quality Zoning, Fuzzy Approximation.

1. Ph.D. Student of Water Resources, Dept. of Civil Eng., Tehran University, Tehran

(+98 21) 82473146 (Corresponding Author) mnasseri@ut.ac.ir

۱- داشجوی دکترای منابع آب، دانشکده مهندسی عمران، دانشگاه تهران، تهران ۸۲۴۷۳۱۴۶ (نویسنده مسئول) mnasseri@ut.ac.ir (۰۲۱)

2. Assoc. Prof. of Civil Eng., Dept. of Civil Eng., Sharif University of Tech., Tehran

۲- دانشیار مهندسی عمران، دانشکده عمران، دانشگاه صنعتی شریف، تهران

3. Grad. Ph.D. of Civil and Water Eng., Dept. of Eng., Tehran University, Tehran

۳- داش آموخته دکترای عمران-آب، دانشکده فنی، دانشگاه تهران، تهران

4. M.Sc. of Water Resources Management, Tehran Regional Water Company, Tehran

۴- کارشناس ارشد مدیریت منابع آب، شرکت آب منطقه‌ای تهران،

محلول (TDS) را به عنوان پارامترهای مؤثر در کیفیت آب برگزیده است و برای نمایه خویش شدت ۱ تا ۴ را در نظر گرفته است. هورتون نمایه خویش را با استفاده از رابطه ریاضی زیر بیان نموده است

$$WQI = \frac{\sum w_i i_i}{\sum w_i} m_1 m_2 \quad (1)$$

که در این رابطه

i مقدار پارامتر کیفی مورد نظر، w وزن پارامتر بر اساس تشخیص تصمیم‌گیر و شرایط محیطی است و ضرائب m_1 و m_2 نیز با توجه به شرایط دما و محیط تعریف می‌شوند. این نمایه بعداً توسط آت^۳ در سال ۱۹۷۸ توسعه یافته است و در کتاب راهنمای کیفیت آب ایالات متحده موقعیتی قابل توجه را به دست آورده است و به عنوان نمایه سازمان ملی بهداشت^۴ شهرت یافته است [۵]. از جمله یکی از مهم‌ترین رویکردهای مبتنی بر روش هورتون می‌توان به روش مشهور اورگان اشاره کرد که توسط کود^۵ در سال ۲۰۰۱ ارائه شده است [۶]. این روش در ابتدا بر مبنای خصوصیت رودخانه‌ها در ایالت اورگان ارائه شده است ولی پس از مدتی در قالب روش‌های هورتونی^۶ تشخیص و ارزیابی کیفیت آب، طبقه‌بندی شده است. ساختار مناسب روش ارائه شده توسط هورتون مبنای بسیاری از مطالعات بعدی شد که تا امروز رویکردهای مختلفی اما بر مبنای این روش به جوامع علمی پیشنهاد شده است [۷] و [۸]. عباسی به بررسی ۱۴ مورد شاخص کلی کیفیت آب که در طی سالهای ۱۹۶۵ تا ۱۹۸۹ بر مبنای رویکرد هورتونی بنیاد گذاشته شده بودند، پرداخته است [۹]. در کنار روش هورتونی ارائه نمایه کیفیت آب، می‌توان به روش مبتنی بر آمار نیز اشاره نمود. جونگ و همکاران^۷ در سال ۱۹۷۸ از آنالیز مؤلفه‌ها به منظور بررسی شاخص کیفی آب بهره برده‌اند [۱۰]. در ادامه آنالیز مؤلفه‌ها با رویکرد غیرخطی توسط کنال^۸ تکمیل شده است [۱۱]. شیفر^۹ و کونانور^{۱۰} در سال ۱۹۷۷ با به کار گیری تابع توزیع آماری بتأثیر ارزیابی کیفی آب اقدام نموده‌اند [۱۱]. استفاده از روش‌های آماری تاکنون ادامه داشته و با استفاده از روش‌های آنالیز مؤلفه‌های اصلی^{۱۱} به بررسی و طبقه‌بندی کیفیت آب پرداخته شده است [۱۲]-[۱۴].

دسته سوم از روش‌های به کار گرفته شده به منظور تبیین نمایه کیفیت آب، روش‌های فازی است. کونگ و همکاران^{۱۲} در سال

۱- مقدمه

کیفیت، کمیت و دسترسی به منابع آب، به ویژه منابع قابل شرب یکی از نکات قابل توجه در مدیریت جوامع شهری و روستایی در سطح کلان است. سه عامل ذکر شده از نکات مهم تصمیم‌گیری در مدیریت استراتژیک و برنامه‌ریزی جمعیتی محسوب می‌شود. مباحث کمی و دسترسی به منابع آب به صورت اخض در هیدرولوژی، هیدرولیک آبهای زیرزمینی و مدیریت منابع آب بررسی می‌شود. اما موضوعات کیفی و بررسی آلودگی و آلاینده‌های موجود در منابع آب موضوع اولیه و از اهداف اصلی مهندسی محیط زیست است. البته مباحث کیفی آب ارتباطی منسجم و معنی‌دار با موضوعات کمی آب دارد.

بررسی متغیرهای کیفی و استنتاج کیفیت آب از مواردی است که به صورت جدی توسط استاندارهای جهانی کیفیت آب بررسی شده است [۱] و [۲]. البته کشورهای مختلف با توجه به توانایی‌های اقتصادی و فنی، برداشت‌های خاص خود را از مفad آن داشته و این استانداردها را به صورت آئین نامه‌های بومی بازخوانی کرده‌اند. ایران نیز از چنین راهنمایی برخوردار بوده، به نحوی که امروز این آئین نامه، مبنای ارزیابی‌های کیفیت آب شرب در کشور محسوب می‌شود [۳]. گسترده‌گی و تنوع در مورد محدوده‌های مجاز، غیرمجاز و یا مطلوب هر یک از اجزای شیمیایی و یا بیولوژیکی آب، اهمیت تعریف و برداشت واحدی را نسبت به کیفیت آب ایجاد می‌نماید. در ادبیات فنی موضوع، این شاخص را نمایه کیفیت آب^۱ در ادبیات [۴] و [۵]. محققان بسیاری در ارائه این نمایه، مطابق با فیزیک موضوع و برداشت فنی خویش تلاش نموده و نمایه‌های مختلفی را ثابت نموده‌اند. اما غالب این نمایه‌ها دارای ساختاری پیچیده بوده و منطق حاکم بر آن، قطعیت‌گرا (در مقابل فازی) بوده است [۶]. البته در سالهای اخیر، در جهت به کار گیری سیستم استنتاج فازی در این زمینه تلاش شده ولی همچنان از پیچیدگی مسئله کاسته نشده و دستیابی به معیاری گویا، ساده و البته فازی از چالشهای تحقیقاتی است.

در این مقاله بر مبنای تعاریف حدود مطلوب و مجاز در دامنه پارامترهای شیمیایی موجود در آب، پهنه‌بندی کیفی آب زیرزمینی در دشت قزوین بر اساس رویکرد فازی پیشنهادی صورت پذیرفت. هورتون^۷ در سال ۱۹۶۵ از اولین محققان است که به ارائه نمایه کیفی آب با استفاده از پارامترهای مختلف پرداخته است [۷]. او پارامتر کیفی آب همانند اکسیژن محلول (DO)، اسیدیته (pH)، تخم انگل، سختی ویژه، کدورت، کلراید و کل مواد جامد

³ Ott

⁴ National Sanitation Foundation (NSF)

⁵ Cude

⁶ Hortonian Approach

⁷ Jaung et al

⁸ Kendall's Non-Parametric Test

⁹ Shcaeffer

¹⁰ Konanur

¹¹ Principal Component Analysis

¹² Kung et al.

¹ Water Quality Index
² Horton

۲- مطالعه موردي

منطقه مورد مطالعه در این تحقیق در استان قزوین واقع شده است. این استان با مساحتی بالغ بر ۱۵۴۴۰ کیلومتر مربع در موقعیت جغرافیایی ۴۵° و ۴۸° تا ۵۰° و ۵۰° طول شرقی و ۳۵° و ۴۹° و ۳۶° عرض شمالی، در بخش شمال باختری کشور جای گرفته است. این استان از شمال با استان گیلان، از شمال شرقی با استان مازندران، از شرق با استان تهران، از جنوب با استان های مرکزی و همدان و از غرب با استان زنجان همچوar است. مشخصه های عمد و اصلی سفره های آب زیرزمینی استان شامل مشخصات سفره های آبرفتی، سطح برخورد با آب زیرزمینی، ضخامت آبرفت، ضریب قابلیت انتقال، ضریب ذخیره و مشخصه های کیفی آب زیرزمینی شامل هدایت الکتریکی، میزان کلر، میزان نسبت جذبی سدیم (SAR) در جدولهای ۱ تا ۳ ارائه گردیده است [۲۳]. در جدولهای ارائه شده برخی از مقادیر غیر قابل دسترس ارائه نشده است. در شکل ۱ موقعیت منطقه مورد مطالعه مشخص شده است.

جدول ۱- تقسیمات هیدرولوژیک و سفره آب زیرزمینی استان قزوین به تفکیک حوضه و زیرحوضه (کیلومتر مربع)

ردیف	نام	واحد هیدرولوژیک	حوضه	زیرحوضه
	و سعت			
۱	قزوین- تاکستان	۸۹۰۰	مرکزی	شور
۲	آوج	۱۲۰۰	مرکزی	شور
۳	قیدار	۱۱۰۰	مرکزی	شور
۴	زرندزاویه ساوه	۱۰۳	مرکزی	شور

در شکل ۱ موقعیت ۲۱۷ چاه که در آنها نمونه گیری صورت پذیرفته، ارائه شده است. در جدول ۴ اطلاعات اجمالی مربوط به پارامترهای شیمیایی کیفی منطقه و خصوصیات آماری آنها آورده شده است. بیشتر پارامترها در جدول ۴ بر مبنای میلی اکی والان بر لیتر بوده و در سایر موارد در جدول اشاره شده است. با توجه به جدول از میان پارامترهای معمول شیمیایی، تنها پارامترهای نیتروژن و فسفر مورد سنجش واقع نشده اند. با استفاده از پارامترهای ارائه شده در جدول ۴، پارامترهای SAR، Na%， آنیون و کاتیون نیز قابل محاسبه هستند. با توجه به تأثیر و تأثیر پذیری شیمیایی و حضور متناسب برخی از عنصر مورد سنجش در آب و به منظور نمایش تنوع حاکم بر کیفیت شیمیایی منطقه، در جدول ۵ همبستگی مقادیر در مجموع ۲۱۷ نقطه ارائه شده است.

همان گونه که انتظار می رفت، پارامترهای همچون EC و TDS دارای تشابه رفتاری قابل ملاحظه ای هستند. ولی چنین سطحی از تشابه رفتاری در پارامترهای شیمیایی مستقل، کمتر ملاحظه

۱۹۹۲ برای اولین بار به تدوین شاخص کیفیت با استفاده از روش خوشبندی فازی پرداخته اند [۱۷]. اما تبیین فازی پارامترهای کیفیت توسط سی و همکاران^۱ در سال ۱۹۹۳ انجام پذیرفته است. وی به جای ضریب سنتی موجود بین صفر تا ۱۰۰ بال حافظ نمودن عدم قطعیتهای موجود در منابع آبی، مقدار آن را به ۰ تا ۱ کاهش داد [۱۸]. سیلورت^۲ در سال ۲۰۰۰ با به کارگیری استنتاج فازی به بررسی کیفیت یک منطقه ساحلی پرداخته است [۱۹]. اکامپودکو و همکاران^۳ در سال ۲۰۰۶ روش جدیدی را با استفاده از سیستم استنتاج فازی به منظور بازبندی کیفیت آب رودخانه ای در اسپانیا ارائه نموده اند. ایشان تعداد ۱۷ پارامتر کیفی (شیمیایی و بیولوژیکی) را به کار برد و در نهایت، کیفیت آب بازه های مختلف رودخانه را در سه کلاس ضعیف، متوسط و خوب تقسیم بندی کرده اند [۲۰]. با الهام از این روش داهیا و همکاران^۴ در سال ۲۰۰۷ سیستم استنتاج فازی را به منظور تشخیص کیفیت آب زیرزمینی به کار بوده اند. ایشان با استفاده از ۱۰ پارامتر شیمیایی مربوط به ۴۲ چاه مشاهداتی، تعداد ۴۲ قاعده فازی را به منظور آموزش مدل استنتاج فازی به کار بردند [۲۱ و ۲۲].

با توجه به سابقه مطالعاتی ارائه شده می توان نتیجه گیری نمود که روش های بالا در دو کلاس عمد قابل بررسی هستند. دسته اول، روشهایی که به صورت ضمنی و یا صریح در رویکردهای هورتونی طبقه بندی می شوند و دسته دوم، روشهایی که پارامترهای شیمیایی را به مقادیر زبانی^۵ و فازی تبدیل می نمایند. یکی از نکاتی که در راستای اصلاح روشهای هورتونی قابل بررسی است، انحراف از معیارهای مطلوب و مجاز کیفیت آب است که به صورت مناسب و واقعی در نظر گرفته نمی شوند و این در حالی است که روشهای فاصله کیفیت از حدود مطلوب و مجاز را دارند.

در این مطالعه با توجه به حدود آیین نامه های کیفی آب و استفاده از مفاهیم مجاز و مطلوب، روشی به منظور تبیین کیفیت آب زیرزمینی ارائه شد. به عنوان مطالعه موردنی روش پیشنهادی، دشت قزوین با ۲۱۷ چاه برداشت نمونه و سنجش ۱۲ پارامتر شیمیایی مورد ارزیابی قرار گرفت. در ادامه به تبیین موقعیت منطقه و خصوصیات آماری اطلاعات برداشت شده و همچنین رویکرد مورد استفاده در پهنه بندی پرداخته شد. مقادیر نمونه برداری شده از منظر زمان ثبت اطلاعات با یکدیگر برابر نبودند و از ۳ تا ۲۳ سال آمار ثبت شده که به صورت ادواری در ایستگاه ثبت شده اند، متوسط گرفته شده است [۲۳].

¹ Sii et al.

² Silvert

³ Ocampo-Duque et al.

⁴ Dahiyah et al.

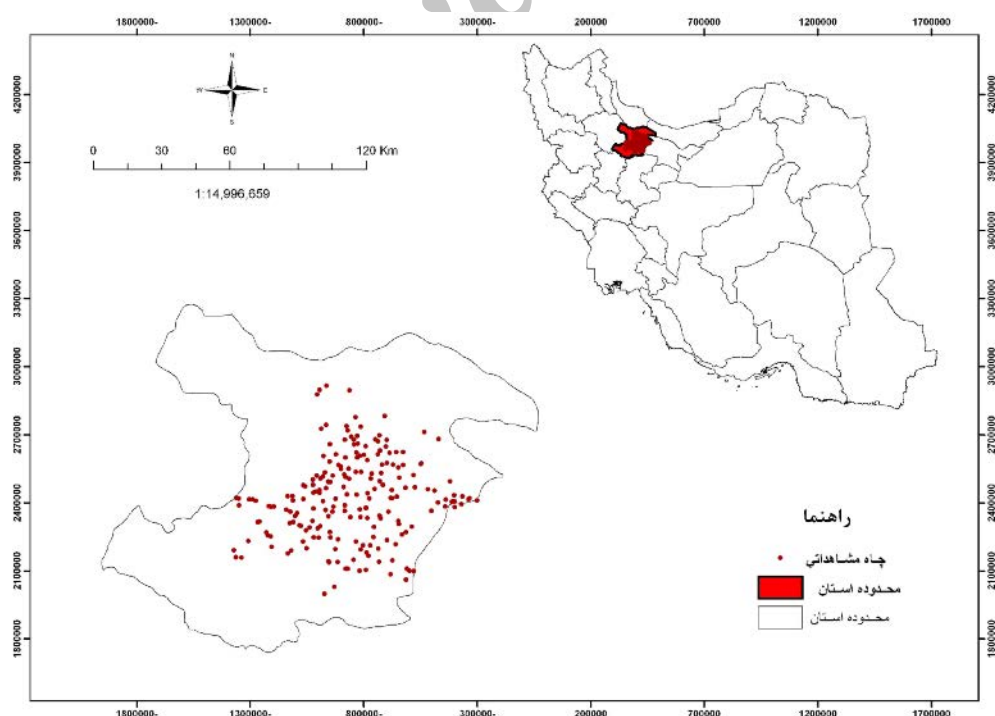
⁵ Linguistic Parameters

جدول ۲- مشخصات سفره‌های آب زیرزمینی دشت‌های استان قزوین

نام دشت	مشخصات آبخوان									
	حداکثر	متوسط	حداکثر	حداکثر	حداکثر	حداکثر	حداکثر	حداکثر	ضریب قابلیت انتقال (مترمربع در روز)	ضریب ذخیره (درصد)
قزوین- تاکستان	۲۰	۵	۵۰۰	۵۰	۳۰۰	۳	۶۰	۱۰	۲	
آوج	-	-	-	-	-	-	-	-	-	-
قیدار	-	-	-	-	۷۰	۷	۱۵	۷	۳	
زرندازویه ساوه	-	-	-	-	-	-	-	-	-	

جدول ۳- کیفیت آب زیرزمینی واحدهای هیدرولوژیک (دشت‌ها) استان قزوین

نام دشت	پارامترهای کیفی				
	حداکثر	حداکثر	حداکثر	حداکثر	میزان کلر (mg/L) (μ S/Cm)
قزوین- تاکستان و بوین	۹۰۰۰	۴۰۰	۲۰	۲۰۰۰	۱/۰۵ تا ۱۴/۳
قیدار	-	-	-	-	C3S2
آوج	-	-	-	-	C3S1 ,C2S2
زرندازویه ساوه	-	-	-	-	وبخش کوچکی نیز در طبقه C4S3 ,C4S1 ,C4S2X



شکل ۱- موقعیت مکانی استان قزوین در کشور و پراکنش چاههای مشاهداتی در دشت قزوین

به نقاط دیگر اقدام می‌شود. در این میان می‌توان به فرایندهای حاکم بر مهندسی خاک توسعه سازندها و ساختارهای خاک و زمین‌شناسی و کیفیت آب به عنوان نمونه اشاره کرد [۲۴، ۲۵، ۲۷، ۲۹].

به منظور پنهان‌بندی کیفی آب زیرزمینی با توجه به تعداد زیاد متغیرهای کیفی تأثیرگذار (چند عامله بودن)، شاخص جدیدی همانند $I_{x,y}$ ^۱ تعریف شده است. این شاخص به صورت حاصلضرب تمام عاملهای مؤثر (کیفی) در هر نقطه بیان شده که هر یک از آن خصوصیتها به صورت اعداد صفر و یک بیان شده‌اند و طبعاً شاخص نهایی نقطه نیز مقدار عددی برابر صفر و یا یک خواهد داشت. در رابطه ۲ فرم ریاضی شاخص نهایی برای بررسی‌های چند متغیره ارائه شده است.

$$I_{x,y} = \prod_{k=1}^n i_k(x, y) \quad (2)$$

که در این رابطه

n تعداد پارامترها در نقطه (x, y) و i_k معرف مقدار شاخص k ام است. جانگ و همکاران با استفاده از همین ایده به ارائه پنهان‌بندی کیفی چندمتغیره بر مبنای ایده کلی هورتون پرداخته‌اند [۲۶]. این نحو از پنهان‌بندی به صورت قطعیت‌گرا بوده و شاخص $(I_{x,y})$ به دست آمده برای هر نقطه دیگر می‌تواند میان احتمال مطلوب بودن آن خصیصه در آن نقطه تلقی شود. این رویکرد به رغم سادگی و سهول الوصول بودن، میزان و اولویت مطلوبیت را بیان نمی‌کند و تشخیص نقطه یا مکان‌های مناسب‌تر به ویژه در فرایند پنهان‌بندی کیفی آب، با چالش رویه رو می‌شود. این چالش هنگامی بیشتر مشخص می‌شود که معلوم شود در تبیین حدود هر یک از عناصر و پارامترهای شیمیایی در آب از دو حد عددی با عنایون حد مطلوبیت و حد مجاز نام برده شده است. حد مطلوبیت، حدی است که میزان حضور آن خصوصیت و یا عنصر در آب تا آن مرز کاملاً بدون اشکال است و البته با افزایش و یا کاهش آن تا حد مجاز همچنان دارای قابلیت شرب و یا هر استفاده دیگر را دارد، ولی از اولیت برخوردار نیست و چنانچه از حد مجاز فراتر رود. آن خصوصیت کاملاً منتفی است. برای آشنایی متعارف شیمیایی برای شرب ذکر شده است. این حدود بر مبنای آینین‌نامه ایران و سازمان بهداشت جهانی^۴ به صورت اشتراکی اخذ شده است [۱ و ۳].

حدود بالا الهام‌بخش نحوه دیگری از تبیین شاخص در این تحقیق است. مغز و هسته این رویکرد جدید، انتساب شاخص یک به پارامتر در محدوده مطلوب و کاهش آن تا عدد صفر در مرز(های) مجاز است. این رویه علاوه بر دربر داشتن امکانات

جدول ۴- مشخصات اجمالی پارامترهای کیفی آب زیرزمینی در مکان‌های نمونه‌گیری شده (میلی‌اکی‌والان در لیتر)

ردیف	نوع پارامتر	انحراف معیار	بیشینه	کمینه	میانگین	کیفی	
۱	EC	۱۷۹۰/۲	۱۲۰	۱۲۹۸۰	۱۵۷۷/۶		
۲	TDS (mg/L)	۷۰۳۵	۷۷	۱۰۵۵/۹	۸۹۹/۶		
۳	pH	۹/۳	۳/۳	۷/۸	۰/۴۴		
۴	CO_3	۱/۶	۰	۰/۰۸	۰/۲۵		
۵	HCO_3	۸/۱	۰/۸	۳/۵	۱/۱		
۶	Cl	۱۱۱	۰/۰۷	۸/۵	۱۱/۷		
۷	SO_4	۶۲	۰/۱	۵/۷	۶/۱		
۸	Ca	۴۳	۰/۱۶	۳/۷	۳/۷		
۹	Mg	۳۴/۰۱	۰/۱۹	۳/۸	۳/۵		
۱۰	Na	۷۷/۸	۰/۴۳	۱۰/۳	۹/۸		
۱۱	K	۰/۲۸	۰	۰/۰۷	۰/۰۵		
۱۲	سختی کل	۳۰۰	۳۴	۳۷۳/۱	۳۳۱/۹		

می‌شود. بر این مبنای دو مدل پنهان‌بندی کیفی ارائه شده در قسمتهای بعدی از کلیه پارامترهای مستقل بهره گرفته شد که به موقع به آن پرداخته می‌شود.

۳- مواد و روشها

۳-۱- تعیین شاخص کیفیت

در این قسمت به ارائه روش مورد استفاده در این تحقیق اشاره شده است. همان‌گونه که اشاره شد اکثر رویکردهای مورد اشاره در پنهان‌بندی بر مبنای ساختاری قطعیت‌گرایانه سازماندهی شده‌اند. اما در مقابل، روش‌هایی نیز بر مبنای شاخصهای آماری و احتمالات بنیاد شده‌اند که اوج چنین رویکردی را می‌توان در مدل‌های زمین‌آماری به نام کریجینگ^۱ و یا کریجینگ معمولی^۲ جستجو نمود [۲۶-۲۴]. چنین رویکردی در تبیین کیفیت و یا خصوصیتی در یک نقطه به صورت شخص بولی (۰ و ۱) در بخش عمده‌ای از رویکردهای پنهان‌بندی، جایگاه خاص خویش را یافته و کیفیت آب و خاک نیز از این قاعده مستثنی نیستند [۲۷-۳۲]. در این روش چنانچه در یک نقطه خصوصیت مورد نظر ارض اسود، مقدار شاخص برابر یک و در غیر این صورت برابر صفر خواهد بود و به این ترتیب رفتار فرایند مورد مطالعه در آن نقطه بیان می‌گردد. سپس با یکی از روش‌های بررسی‌های مکانی^۳ به تعمیم خصوصیت مورد نظر

¹ Kriging

² Ordinary Kriging

³ Spatial Exploration Method

⁴ Word Health Organization (WHO)

جدول ۵- همبستگی پارامترهای شیمیایی در منطقه مورد مطالعه

CaCO ₃	SAR	Na %	کاتیون‌ها	K	Na	Mg	Ca	آنیون‌ها	SO ₄	Cl	HCO ₃	CO ₃	pH	TDS	EC	همبستگی پارامترها
														۱/۰۰	EC	
														۱/۰۰	۰/۹۹	TDS
														۱/۰۰	۰/۲۱	pH
														۱/۰۰	۰/۲۰	CO ₃
														۱/۰۰	۰/۰۵	HCO ₃
														۱/۰۰	۰/۹۳	Cl
														۱/۰۰	۰/۷۸	SO ₄
														۱/۰۰	۰/۰۰	آنیون‌ها
														۱/۰۰	۰/۸۲	Ca
														۱/۰۰	۰/۷۱	Mg
														۱/۰۰	۰/۶۸	Na
														۱/۰۰	۰/۶۴	K
														۱/۰۰	۰/۹۷	کاتیون‌ها
														۱/۰۰	۰/۹۰	Na %
														۱/۰۰	۰/۷۰	SAR
۱/۰۰	۰/۴۳	-۰/۱۴	۰/۹۳	۰/۵۹	۰/۸۱	۰/۹۲	۰/۹۳	۰/۹۳	۰/۷۷	۰/۸۵	-۰/۰۹	-۰/۲۵	-۰/۲۹	۰/۹۲	۰/۹۳	CaCO ₃

نقطه در این رویکرد نیز معادل رابطه ۲ است، با این تفاوت که مقادیر سازنده آن دارای مقادیری غیر از صفر و یک و البته در این دامنه هستند. به عنوان مثال، بر مبنای این روش شاخص کیفیت پارامترهای Cl و pH و میان هر کدام، در شکل‌های ۲ و ۳ ارائه شده‌اند. در تبیین خصوصیت فازی هر یک از دو پارامتر بالا به ترتیب از یک تابع عضویت مثبتی و ذوزنقه‌ای استفاده شد. انتخاب توابع عضویت موبوطه با توجه به قضاوت مورد نیاز توسط تضمیم‌گیر، قابل انتخاب بوده و در فرایند کلی خالی ایجاد نمی‌نماید. در جدول ۶ نوع پخش فازی به کارگرفته شده برای هر پارامتر آورده شده است. از دیگر مزایای این نوع سنجش امکان وزن دهنده به پارامترها است. یکی از متداول‌ترین روشها در اعمال این وزن دهنی توانی است که می‌تواند مقدار آن کوچک‌تر و یا بزرگ‌تر از یک باشد. این وزن دهنی توانی به صورت توان b بر شاخص کیفی i^b (۱) اعمال می‌شود. با توجه به استفاده از شاخص اشتراک فازی، هرچه شاخص کوچک‌تر شود (توان بزرگ‌تر از یک)، میزان تأثیر آن بر خصوصیت کلی نقطه کمتر خواهد بود و هرچه بیشتر شود (توان کوچک‌تر از یک) از این تأثیر کاسته خواهد شد. در شکل ۴ نمونه‌هایی از این تأثیر آورده شده است. در قسمت بعد، پارامترها و مشخصات فازی به کارگرفته شده در تشخیص می‌بینی کیفی یک نقطه و نتایج آن در پهنه‌بندی کیفی آب زیرزمینی دشت قزوین ارائه شد. این پهنه‌بندی به دو صورت (روش موجود و روش فازی پیشنهادی) برای دو سناریو پارامترهای کیفی آورده شد.

۴- پهنه‌بندی کیفی

در این گام پس از مشخص شدن رویکرد برخورد با پارامترهای

جدول ۶- حدود مجاز و مطلوب پارامترهای شیمیایی آب شرب مورد استفاده

پارامترها	حدود کیفیت آب شرب				
	حد مجاز با پایین مطلوب فازی بالا	حد مجاز ذوزنقه ناقص	تابع پخش ذوزنقه کامل	حد مجاز ذوزنقه ناقص	ذوزنقه ناقص
TDS	۰	۵۰۰	۲۰۰۰	۰	۰
pH	۶/۵	۸/۵-۷	۹/۲	۰/۰۸	۰/۱
CO ₃	۰	۰	۰/۰۵	۰/۰۳	۰/۰۲
HCO ₃	۰	۸	۱۰	۰	۰/۰۳
Cl	۰	۵/۶۶	۳۰	۰	۰/۰۳
SO ₄	۰	۵	۲۰	۰	۰/۰۲
Ca	۰	۵	۱۵	۰	۰/۰۱
Mg	۰	۰/۴	۱۲/۵	۰	۰/۰۱
Na	۰	۱	۹	۰	۰/۰۱
SAR	۰	۹	۱۵	۰	۰/۰۱
CaCO ₃	۰	۱۰۰-۵۰	۳۰۰	۰	۰/۰۱

رویکرد قطعیت‌گرایانه، امکان بررسی و اولویت‌بخشی متناسب با کیفیت، در چارچوب حد مطلوب و حد مجاز را دارا خواهد بود، به عبارت دیگر چنانچه به آلاینده‌ای عدد صفر نسبت داده شود، گویای مقداری در خارج از حد مجاز و چنانچه یک باشد می‌بین قطعی حضور آن آلاینده در محدوده مطلوب است. اعداد بین صفر و یک نیز تغییرات کیفیت آب بین این دو دامنه را نشان خواهند داد. با این احتساب به جای انتساب شخصی بولی به کیفیت هر آلاینده در آب، شاخصی فازی به آن نسبت داده شد. طبعاً با هر یک از روش‌های اشتراک فازی، شاخص نهایی هر نقطه که منتج از تمامی خصوصیت‌های آن است، تبیین می‌شود. رابطه نهایی کیفیت در هر

یکسان آنها صفر شود، شاخص برابر با صفر می‌شود و چنانچه همگی برابر با یک باشند یعنی همه پارامترهای شیمیایی نقطه مورد بررسی در دامنه مجاز باشند، آنگاه پارامتر کلی برابر با یک خواهد بود. بهمنظور انتخاب پارامترهای مؤثر، دو سناریو برای انجام پنهانی کیفی آب زیرزمینی دشت قزوین انتخاب شد. در سناریوی اول تمامی پارامترهای ارائه شده در جدول ۶ مورد استفاده قرار گرفت و در سناریوی دوم دسته دلخواهی از پارامترها (در این تحقیق دسته پارامترهای SAR، Na, Mg, Ca, SO₄, Cl)، مطابق با رویکرد جانگ و همکاران در سال ۲۰۰۸ استفاده شد. در زیر رابطه ریاضی اشتراک فازی مورد استفاده ارائه شده است

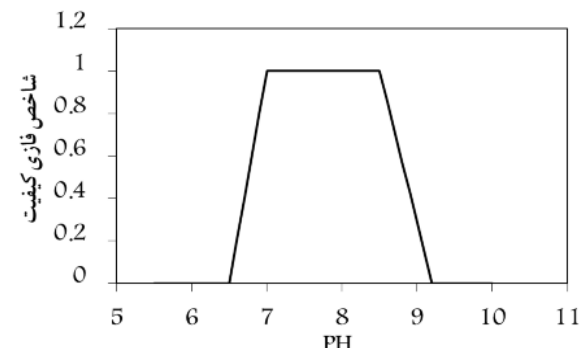
$$I_{x,y} = \prod_{k=1}^n i_k^{b_k}(x, y) \quad (3)$$

که در این رابطه

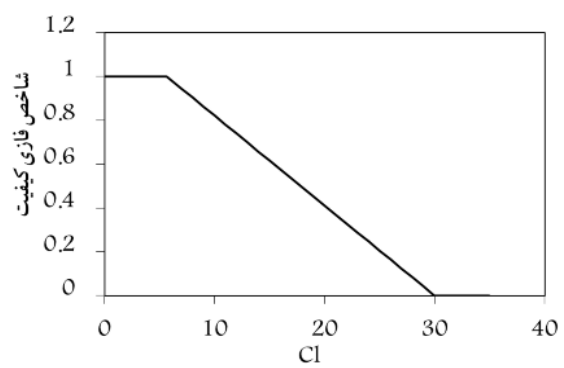
b_k بیانگر وزنی است که برای هر پارامتر k انتخاب شده است و در این تحقیق برابر با یک است. هرچه این عدد بزرگ‌تر فرض شود، دامنه‌های تابع عضویت فازی آن نیز دارای شبیه‌شدنی خواهد بود. در عین حال برای هر یک از سناریوها علاوه بر نقشه پنهانی بر مبنی بر شاخص کیفیت فازی، نقشه پنهانی قطعیت‌گرا می‌تنی بر اعداد صفر و یک نیز در محلهای چاههای مشاهداتی ارائه شد. در این گام از تهیه نقشه پنهانی کیفی، ۲۱۷ شاخص بیانگر کیفیت فازی و قطعیت‌گرا که در دامنه [0, 1] هستند و هر کدام متعلق به نقطه‌ای مشخص هستند، باید بهمنظور توسعه در مکان و تهیه نقشه پنهانی کیفی مورد استفاده قرار گیرند. بهمنظور توسعه مکانی اطلاعات ثبت شده در هر چاه نمونه‌برداری به کل منطقه دشت قروین، مدل معکوس فاصله وزن دار^۱ به دلیل سادگی و سهولت استفاده، انتخاب شد [۳۲]. در این روش فرض در تخمین مقدار پارامتر هدف در نقطه مورد نظر به صورت مجموع وزن داری از مقادیر مشاهده شده در ایستگاههای هم‌جوار است. به عنوان مثال چنانچه تخمین مقدار شاخص کیفی در نقطه x₀ مدنظر باشد و اطلاعات بارش در m نقطه {x_i, i = 1, 2, ..., m} با مقادیر {I_i, i = 1, 2, ..., m} موجود باشد، آنگاه بر اساس روش معکوس فاصله وزن دار، مقدار شاخص کیفیت در نقطه هدف بر اساس رابطه خطی زیر به دست خواهد آمد

$$I(x_0) = \sum_{i=1}^n \lambda_i I_i \quad (4)$$

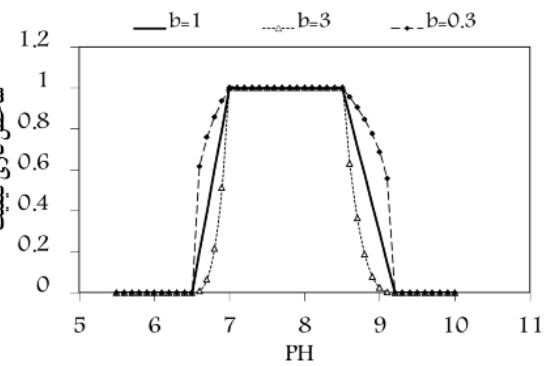
در رابطه خطی بالا وزن مقدار شاخص کیفی در هر نقطه نیز از رابطه زیر به دست می‌آید



شکل ۲- پخش فازی پارامتر شیمیایی pH و تغییرات شاخص آن بهمنظور آب آشامیدنی (ذوزنقه کامل)



شکل ۳- پخش فازی غلظت پارامتر شیمیایی Cl و تغییرات شاخص آن بهمنظور آب آشامیدنی (ذوزنقه ناقص)



شکل ۴- پخش فازی غلظت پارامتر شیمیایی pH و تغییرات شاخص آن با ضرایب تأثیر مختلف (۱، ۳ و ۰/۳)

شیمیایی در هر نقطه به توضیح چگونگی تجمعی آنها پرداخته شد. در این قسمت با بهکارگیری روش اشتراک فازی، این تجمعی صورت پذیرفت و مرحله توسعه مدل مکانی آغاز شد. با توجه به یکسان بودن اهمیت خصوصیات شیمیایی در هر نقطه، مقدار پارامتر b که به‌نحوی بیانگر وزن خصوصیت شیمیایی آب است یکسان و برابر با عدد یک درنظر گرفته شد، همچنین از قاعده اشتراک تعریف شده به صورت ضرب پارامترها بهره گرفته شد. ضرب پارامترها این خصوصیت را داراست که چنانچه یک پارامتر با توجه به اهمیت

^۱ Inverse Weighted Distance (IWD)

توقف ۵۰۰ نسل و یا همگرایی سریع‌تر با تغییر در معیار خطأ و کمتر از ۱٪ بود. در شکل ۵ نمودار گردشی مدل بهینه شده معکوس فاصله وزن دار نمایش داده شده است. در زیر تابع شاخص برآش مورد استفاده نیز ارائه گردیده است

$$(7) \quad \text{تابع شاخص برآش} = \frac{10^9}{\text{Error} + 1}$$

که در این رابطه

Error معرف خطای مدل معکوس وزن دار در هر عضوی از جمعیت با توان و شعاعهای همسایگی به کار برده شده است. به این معنی که مقدار مجموع خطأ در نقاط مشاهداتی با استفاده از الگوریتم ارزیابی تقاطعی تعیین شده و برابر با Error قرار داده می‌شود. الگوریتم ژنتیک به کار برده شده در تمامی سناریوهای مدنظر مدل‌سازی، بدون استثناء همگرا شده است. ضمناً لازم به ذکر است که صحت‌سنگی در این مطالعه با روش متداول در تخمین مکانی یعنی صحت‌سنگی تقاطعی^۳ انجام پذیرفت. همچنین در جدول ۷ نیز مشخصات آماری نتایج ناشی از صحت‌سنگی با استفاده از مدل بهینه در هر سناریو و نوع شاخص ارائه شده است. در شکل‌های ۶ تا ۹ مدل‌های مکانی توسعه داده شده به‌منظور هر سناریو-شاخص ارائه شده است. همان‌گونه که قبلًاً اشاره شد دو سناریو کیفی (متفاوت در نوع و تعداد پارامترهای شیمیایی آب) و دو رویکرد تبیین شاخص (فازی و قطعی)، اساس پنهان‌بندی‌های ارائه شده را تشکیل می‌دهد.

۵- نتایج و بحث

فازی و یا غیرفازی بودن سناریو بر اساس نتایج جدول ۶ تأثیر قابل ملاحظه‌ای در شعاع تأثیر بهینه ندارد، اما رویکردهای فازی توان کمتری را در معیار فاصله به خود اختصاص داده‌اند که این خود معرف تغییرات نرم‌تر مکانی روش فازی به روش غیرفازی است و به‌نحوی بر پیوستگی بیشتر دامنه مکانی نتایج تأکید دارد. شکل‌های

³ Cross-Validation

$$(5) \quad \lambda_i = \frac{g(h_{io})}{\sum_{k=1}^n g(h_{ok})}$$

که در این رابطه

مقدار وزن شاخص کیفی، تابعی است از مقدار g که خود تابعی از فاصله اقلیدسی h است. مقدار وزن به صورت نسبی نسبت به نقطه هدف و مجموع آن تابع در هر یک نقطه مشاهداتی تعریف می‌شود. در روش استاندارد فرم تابع g در زیر آورده شده است

$$(6) \quad g(h) = \frac{1}{h^p}$$

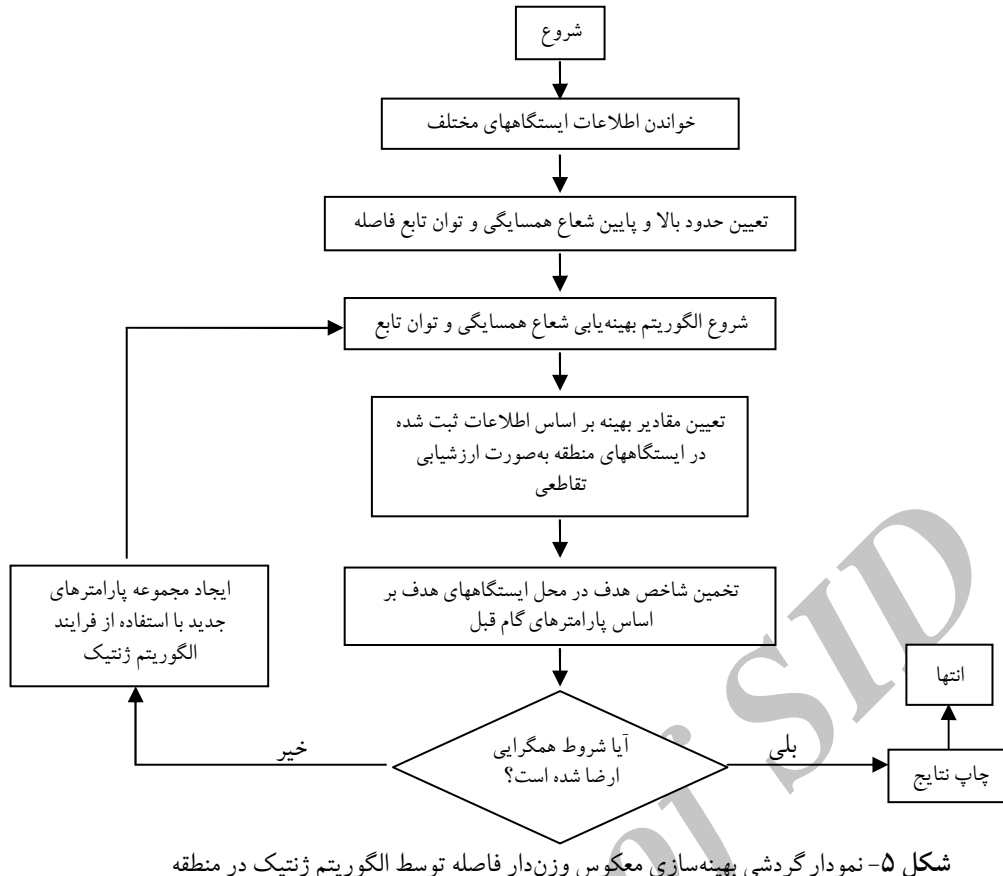
که در این رابطه

g به صورت معکوس فاصله به توان پارامتر حقيقی و مثبت p محاسبه می‌شود. این روش دارای قابلیت محاسباتی مناسبی است و با استفاده از روش ارزیابی تقاطعی، مقدار p قابل محاسبه است. نکته قابل توجه در این روش و سایر روش‌های مدل‌سازی مکانی، استفاده از پارامتر مؤثر دیگری است که در آن نقاط مشاهداتی مؤثر m را در شعاع همسایگی خاصی در نظر می‌گیرند و به اصطلاح تأثیر تفاوت ساختار مکانی کیفیت آب در شعاعهای مختلف همسایگی را در مدل مکانی مورد نظر وارد می‌سازند. این دامنه تأثیر که با توجه به شاخص کیفیت در ارتباط تنگاتنگی با آب زیرزمینی است را می‌توان به عنوان شعاع تأثیر کیفی در منطقه نیز برآورد نمود. عابدینی و همکاران به تأثیر نحوه انتخاب این میدان مؤثر در افزایش دقت تخمین مکانی در روش‌های زمین آمار و معکوس وزن دار فاصله پرداخته‌اند و تأثیر که فوق العاده آن را در افزایش دقت مدل‌سازی مکانی آشکار ساخته‌اند [۳۴-۳۲]. در این تحقیق با به کارگیری الگوریتم ژنتیک، پارامترهای دوگانه مدل بالا یعنی شعاع تأثیر و توان فاصله برای کل دامنه به صورت بهینه به دست آمد. الگوریتم ژنتیک، مورد استفاده، الگوریتم ژنتیکی با اعداد حقیقی بود که در آن احتمال تزویج^۱ ۹۶ درصد و احتمال جهش^۲ ۹ درصد بود. جمعیت هر نسل ۱۵۰ عضو بوده و معیار

¹ Cross Over
² Mutation

جدول ۷- مشخصات مدل مکانی بهینه مورد استفاده و خصوصیت آماری آن به منظور هر سناریو-شاخص کیفی

ردیف	عنوان مدل و سناریو	شعاع تأثیر مناسب (متر)	تون تابع فاصله (مشاهده نسبت به محاسبه)	MSE
۱	سناریو کیفی اول (شاخص فازی)	۱۰۷۴۵	۶	۰/۴۵
۲	سناریو کیفی اول (شاخص غیرفازی)	۱۰۳۰۹/۵	۱۲	۰/۵۵
۳	سناریو کیفی دوم (شاخص فازی)	۱۰۴۹۲	۳	۰/۲۲
۴	سناریو کیفی دوم (شاخص غیرفازی)	۱۴۷۷۹/۲	۶	۰/۷۷



شکل ۵- نمودار گردشی بهینه‌سازی معکوس وزن دار فاصله توسط الگوریتم ژنتیک در منطقه

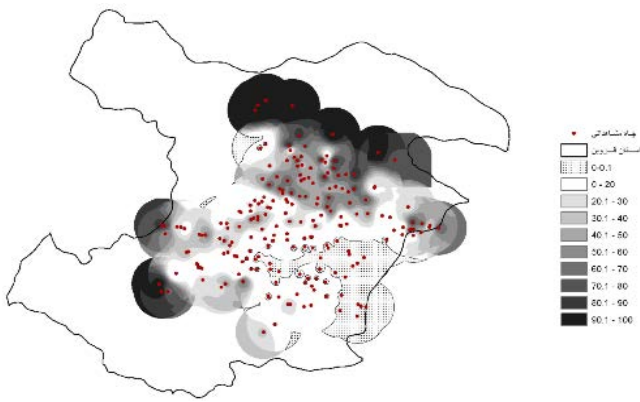
نیز قابل برداشت است. اما در پهنه‌های مبتنی بر رویکرد فازی، مشکی (خاکستری) بودن نقاط مبین قابل شرب بودن است و نمایه منتبس به آن، معرف تغییرات آن از حدود مطلوب تا حد مجاز کیفیت آب است. یعنی نه تنها مجاز بودن کیفیت شیمیایی قابل تعیین است، بلکه موقعیت منطقه در دامنه مجاز تا مطلوب نیز به صورت نسبی مشخص شده است. مقایسه پهنه‌بندی قطعی و فازی در هر سناریوی کیفی، گویای آن است که نسبت مناطقی با کیفیت مطلوب به صورت کسری از مناطق با کیفیت بیش از حد مجاز است و از این دیدگاه، این دو نوع پهنه‌بندی ارائه شده را می‌توان مکمل یکدیگر در برداشت کامل از کیفیت آب زیرزمینی داشت قزوین برآورد کرد. این نسبت به خصوص در سناریوی دوم، بیشتر قابل مشاهده است (شکل‌های ۸ و ۹).

دیگر نتیجه قابل ارائه در این مقاله ناشی از تعیین شعاع تأثیر و مدل‌سازی مکانی است. عدم ارائه شاخص در مناطقی است که در حدود تأثیر آن گمانه و یا چاه مشاهداتی موجود نیست و این به معنای محدود بودن دامنه اعتبار مدل و پهنه‌های ارائه شده است که با توجه به این محدودیت، پهنه کیفی در آن مناطق توسعه داده نشده است.

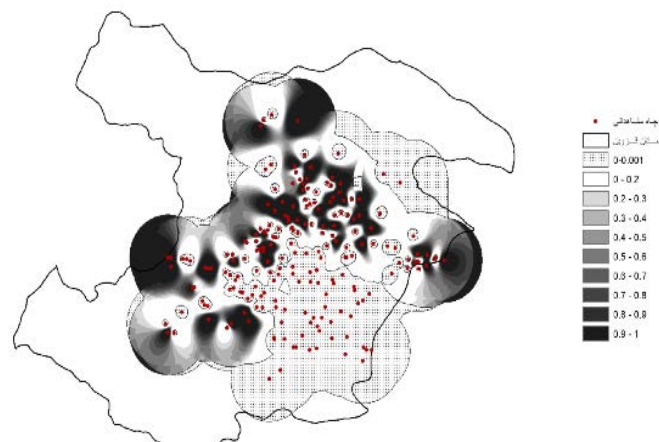
در کل با توجه به پهنه‌بندی‌های ارائه شده می‌توان استدلال کرد

۶ تا ۹ حالتهای و صورتهای مختلفی از پهنه‌بندی کیفی آب زیرزمینی داشت قزوین را ارائه می‌نماید که در عمل، گزینه‌های رقیب فازی و غیرفازی در این تحقیق را تشکیل می‌دهند.

شکل‌های ۶ و ۷ بر اساس سناریوی اول، متشکل از تمامی پارامترهایی است که در جدول ۵ به آن اشاره شده است. پهنه‌بندی‌های ارائه شده در شکل‌های ۸ و ۹ نیز گویای پهنه‌های کیفی از دو منظر قطعیت‌گرایانه و فازی بر اساس سناریوی دوم کیفی ارائه شده است. در تمامی شکل‌ها، پهنه‌های با سایه بسیار کمرنگ، معرف نقاط و وسعتی است که از منظر سناریوهای به کارگرفته شده فاقد کیفیت مناسب بوده و عملکرده کیفیتی معادل با صفر دارند. اما به منظور نمایش در پهنه‌ها، حدی که معادل نسبت ۱/۰ یا کمتر بوده نیز برابر صفر در نظر گرفته شد. در هر یک از سناریوهای حدودی که پهنه‌های فازی و غیرفازی نشان می‌دهند تا حد قابل ملاحظه‌ای بر یکدیگر انطباق دارند اما بر اساس مبانی ارائه شده در بخش ۴ و ۵ از منظر تأویل و برداشت کارشناسی دارای تفاوت‌های بنیادین هستند. در پهنه‌هایی که اطلاعات به صورت قطعی مورد استفاده واقع شده‌اند پهنه‌های معرفی شده با طیف سفید تا مشکی معرف حدودی است که احتمالاً در آن مناطق کیفیت شیمیایی آب قابل شرب در محدوده مجاز است و این احتمال از راهنمای نقشه



شکل ۹- نقشه پهن‌بندی کیفیت آب شرب در دشت قزوین، سناریوی دوم از منظر پارامترهای شیمیایی و به صورت فازی (بر حسب درصد)



شکل ۶- نقشه پهن‌بندی کیفیت آب شرب در دشت قزوین، سناریوی اول از منظر پارامترهای شیمیایی و به صورت قطعی (غیر فازی)

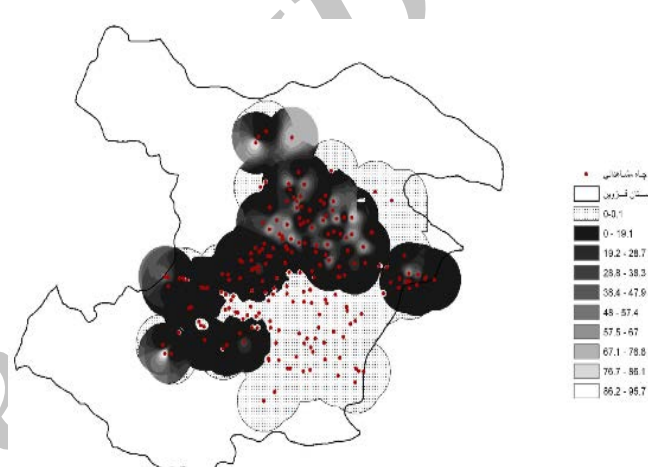
که در محدوده‌های شمالی، غربی و جنوب غربی استان، کیفیت شیمیایی آب در حدود قابل قبول و مطلوب بوده در قسمت مرکزی و شرقی، فاقد کیفیت بوده و یا از کیفیتی بسیار پایین برخوردار است. از طرف دیگر این پنهان، خود ناشی از گسترش کشاورزی در این نواحی است. وجود ارتفاعات در مناطق شمالی، غربی و جنوب غربی استان، کیفیت شیمیایی آب زیرزمینی را در محدوده کیفی مناسبی نگه داشته است. البته در مناطق شمال غربی و شمال شرقی، مناطق حاشور خورده قابل مشاهده است که گویای مناطق فاقد کیفیت محلی است و قابل تعیین به صورت توده‌ای بزرگ در استان با توجه به اطلاعات موجود نیست.

مقایسه پهن‌بندی‌های ارائه شده در شکل‌های ۶ و ۸ از سناریوهای اول و دوم با رویکرد قطعی (غیر فازی) و همچنین شکل‌های ۷ و ۹ از سناریوهای اول و دوم با رویکرد فازی و بررسی حدود تشابه و تفارق پنهانها، معرف تأثیر سناریوهای به کار رفته است. بنابراین نیاز کاربر یا تصمیم‌گیر در بررسی پارامترهای شیمیایی می‌تواند یکی از موارد عمدۀ تأثیرگذار در تعیین پنهان‌های مناسب باشد.

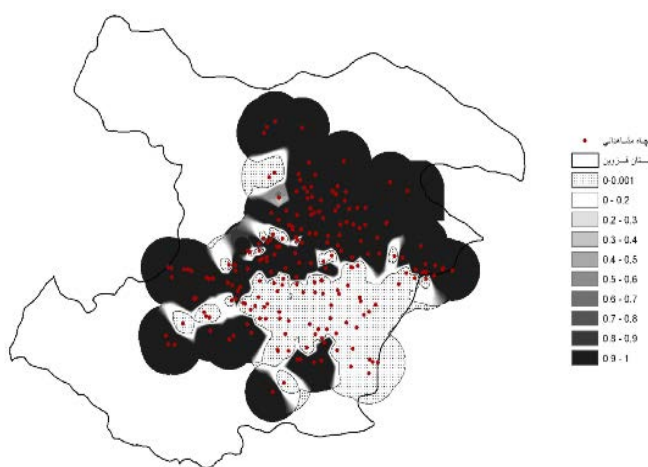
از دیگر عوامل تأثیرگذار، وزن‌های (b) است که به منظور تنظیم تأثیردهی هر پارامتر شیمیایی بر شاخص کل به کار گرفته می‌شود. در این تحقیق این پارامتر یکسان و معادل عدد یک فرض شد که بنا به نظر کاربر بدون اثرگذاری در فرایند کلی قابل اعمال است. این گستردگی و میدان مناسب به منظور اعمال واقعی محدودیتهای کاربری، از مزایای این پهن‌بندی غیر قطعیت‌گرا است.

۶- نتیجه‌گیری

به کارگیری روش‌های رویکردهای مبتنی بر تشخیص و استنتاج فازی، امکان تلفیق اطلاعات متنوعی در شبیه‌سازی‌های مختلف فراهم می‌نماید. استفاده از تلفیق روش‌های معمول در شبیه‌سازی



شکل ۷- نقشه پهن‌بندی کیفیت آب شرب در دشت قزوین، سناریوی اول از منظر پارامترهای شیمیایی و به صورت فازی (بر حسب درصد)



شکل ۸- نقشه پهن‌بندی کیفیت آب شرب در دشت قزوین، سناریوی دوم از منظر پارامترهای شیمیایی و به صورت قطعی (غیر فازی)

به کارگرفته شده در رویکرد این تحقیق، عمدۀ ترین مزایای به کارگیری روش معکوس وزن دار بهینه شده، تأثیردهی شعاع تأثیر هر یک از چاهها و رسیدن به کیفیت و در نهایت پهنه‌ای مطمئن‌تر است. پارامترهای کیفی ایجاد شده در این تحلیل خود می‌تواند به منظور اوزان کیفی هر نقطه در سایر تحلیلها به خصوص روش‌های آماری، مورد بهره‌برداری قرار گیرد.

۷- پیشنهاد

به منظور توسعه روش حاضر، ارائه پهنه‌های کیفی در سطوح مختلف امکان فازی، دسترسی به سطوح امکانی مختلف فازی در پهنه‌بندی کیفیت آب را فراهم می‌نماید که به منظور افق آتی مطالعات قابل توصیه است.

مکانی اطلاعات کیفی همانند رویکرد ارائه شده در تحقیق حاضر امکان تهیه نقشه‌های پهنه‌بندی با لحاظ نمودن اطلاعات بیشتر با در نظر گرفتن جنبه‌های مختلف از منظر امکان وجود اطلاعات کیفی و همچنین شاخص کیفیت آن را به صورت یکجا فراهم می‌نماید. روش ارائه شده در تحقیق حاضر با به کارگیری استنتاج فازی از منظری در دسته روش‌های هورتونی جای گرفته و از منظر دیگر به دلیل استفاده معنی‌دار از مقاومت فازی مجاز و معمول در دسته روش‌های نوین جای دارد.

در روش ارائه شده می‌توان از عوامل با اهمیت در تشخیص کیفیت آب از روش‌های متنوع اشتراک‌گیری فازی استفاده نمود که استفاده از بهترین رویکرد و پارامترهای مربوطه در آن از اهمیت ویژه برخوردار است. همچنین از نظر روش‌های شبیه‌سازی مکانی

۸- منابع

- 1- WHO. (1984). *Guidelines for drinking water quality recommendation*, Vol. II, World Health Organization, Geneva.
- 2- De Zuane, J. (1996). *Handbook of drinking water quality*, 2nd Ed., John Wiley and Sons Inc., New York.
- 3- Razaghi, N., Hejazi, M., Shokouhi, Sh., Goudarzi, H., and Mashhoun, A. (1991). *Method for examination of drinking water*, 2nd Ed., ISIRI Pub., Tehran. (In Persian).
- 4- Ott, W.R. (1978). *Environmental indices, theory and practice*, Ann Arbor Science Pub., Michigan.
- 5- Ott W.R. (1978). *Water quality indices: A survey of indices used in the United States*, EPA-600/4-78-005, US Environmental Protection Agency, Washington, DC.
- 6- Horton, R.K. (1965). "An index number system for rating water quality." *J. of Water Pollut. Control Fed.*, 37(3), 300-305.
- 7- Cude, C.O. (2001). "Water quality index: A tool for evaluating water quality management effectiveness." *J. of Am. Water Resour. Assoc.*, 37, 125-137.
- 8- Liou, S., Lo, S., and Wang, S.A. (2004). "Generalized water quality index for Taiwan." *J. of Environ. Monit. Assess.*, 96, 35-52.
- 9- Said, A., Stevens, D., and Selke, G. (2004). "An innovative index for evaluating water quality in streams." *J. of Environ. Manage.*, 34, 406-414.
- 10- Abbasi, S.A. (2002). "Water quality indices, state of the art, centre for pollution control and energy technology." <www.nih.ernet.in/general/Water Quality Indices.doc> (Sep. 12, 2010)
- 11- Joung, H.M. (1978). *A water quality index based on multivariate factor analysis*, University of Nevada, Reno, NV.
- 12- Harkins, R.D. (1974). "An objective water quality index." *J. of Water Poll. Control Fed.*, 46(3), 588-591.
- 13- Schaeffer, D.J., and Konanur, G.J. (1977). "Communicating environmental information to the public: A water quality index." *J. of Environ. Educ.*, 8(4), 18-26
- 14- Sarbu, C., and Pop, H.F. (2005). "Principal component analysis versus fuzzy principal component analysis, a case study: The quality of Danube water (1985-1996)." *J. of Talanta*, 65, 1215-1220.
- 15- Pop, H.F., Einax, J.W., and Sarbu, C. (2009). "Calssical and fuzzy principal component analusis of some environmental samples concerning the pollution with heavy metals." *J. of Chemometrics and Intelligent Laboratory Systems*, 97, 25-32.

- 16- Luukka, P. (2009). "Classification based on fuzzy robust algorithms and similarity classifier." *Expert systems with applications*, 36, 7463-7468.
- 17- Kung, H.T., Ying, L.G., and Liu, Y.C. (1992). "A complementary tool to WQI: Fuzzy clustering analysis." *J. of Water Resources Bulletin*, 28(2), 525-533.
- 18- Sii, H.I., Sherreard, J.H., and Wilson, T.E. (1993). "A water quality index based on fuzzy sets theory." *Proc. of the 1993 Joint ASCE-CSCE National Conference on Environmental Engineering*, Montreal, Quebec, Canada, 253-259.
- 19- Silvert, W. (2000). "Fuzzy indices of environmental conditions." *J. of Ecological Modeling*, 130, 111-119.
- 20- Ocampo-Duque, W., Ferre-Huguet, N., Domingo, J.L., and Schuhmacher, M. (2006). "Assessing water quality in rivers with fuzzy inference systems: A case study." *J. of Environment International*, 32, 733-742.
- 21- Dahiya, S., Singh B, Gaur, S, Garg, V.K, and Kushwaha, H.S. (2007). "Analysis of groundwater quality using fuzzy synthetic evaluation." *J. of Hazardous Materials*, 147, 938-946.
- 22- Singh, B., Dahiya, S., Jain, S., Garg, V.K, and Kushwaha, H.S. (2008). "Use of fuzzy synthetic evaluation for assessment of groundwater quality for drinking usage: A case study of Southern Haryana, India." *J. of Environmental Geology*, 54, 249-255.
- 23- Abkhan Consulting Engineers. (2008). *Detail studies of surface and groundwater resources of Ghazvin open land*, Water Resources Management, Terhran Province Water Corp., Tehran. (In Persian)
- 24- Critto, A., Carlon, C., and Marcomini, A. (2003). "Characterization of contaminated soil and groundwater surrounding and illegal landfill (S. Giuliano, Venice, Italy) by principal component analysis and kriging." *J. of Environmental Pollution*, 122(2), 235-244.
- 25- Marinoni, O. (2003). "Improving geological models using a combined ordinary-indicator kriging approach." *J. of Engineering Geology*, 69, 37-45.
- 26- Jang, C., Chen, S.K., and Chieh, L.C. (2008). "Using multiple-variable indicator kriging to assess groundwater quality for irrigation in the aquifers of the choushui river alluvial fan." *J. of Hydrological Processes*, 22, 4477-4489.
- 27- Oyedele, D.J., Amusan, A.A., and Obi, A.O. (1996). "The use of multiple-variable indicator kriging technique for assessment of the suitability of an acid soil for maize." *J. of Tropical Agriculture*, 73(4), 259-263.
- 28- Juang, K.W., and Lee, D.Y. (1998). "Simple indicator kriging for estimating the probability of incorrectly delineating hazardous areas in a contaminated site." *J. of Environmental Science and Technology*, 32, 2487-2493.
- 29- Lyon, S.W., Lembo, A.J., Walter, M.T., and Steenhuis, T.S. (2006). "Defining probability of saturation with indicator kriging on hard and soft data." *J. of Advanced Water Resources*, 29, 181-193.
- 30- Liu, C.W., Jang, C.S., and Liao, C.M. (2004). "Evaluation of arsenic contamination potential using indicator kriging in the Yun-Lin aquifer (Taiwan)." *J. of Science of the Total Environment*, 321, 173-188.
- 31- Goovaerts, P., AvRuskin, G., Meliker, J., Slotnick, M., Jacquez, G., and Nriagu, J. (2005). "Geostatistical modeling of the spatial variability of arsenic in groundwater of Southeast Michigan." *J. of Water Resources Research*, 41, 13-25.
- 32- Abedini, M.J., and Nasseri, M. (2008). *Inverse distance weighted revisited*, 4th Ed., APHW, Beijing, China.
- 33- Abedini, M.J, Nasseri, M., and Burn, D. (2012). "The use of a genetic algorithm-based search strategy in geostatistics: Application to a set of anisotropic piezometric head data." *J. of Computers and GeoSciences*, 41, 136-146.
- 34- Ebrahimi, R., Zahraie, B., and Nasseri, M. (2011). "Mid-term prediction of meteorological drought using fuzzy inference systems." *J. of Water and Wastewater*, 78, 112-125, (In Persian).